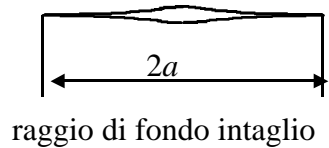
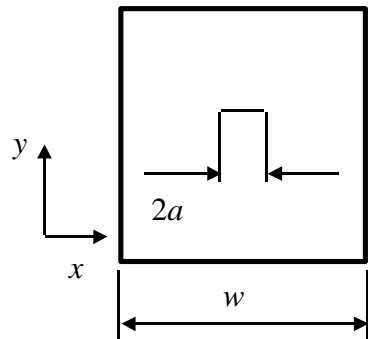


Meccanica della Frattura Lineare Elastica (cenni)

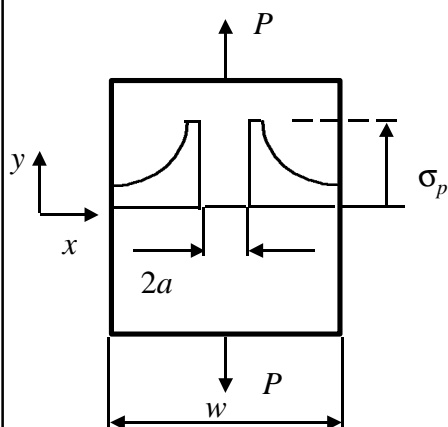
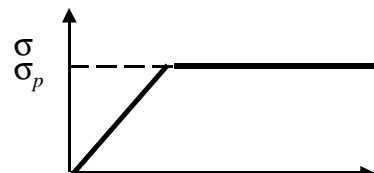
piastra con difetto passante



$$\rho \rightarrow 0$$

$$K_t \rightarrow \infty$$

materiale elastico -perfettamente plastico



A collasso plastico
 $P_{cr} \equiv P_{sn} = \sigma_p B(w - 2a)$

B rottura fragile
 $P'' \equiv P_{cr} < P_{sn}$
 Legato a tensioni di trazione

Stato di tensione all'apice della cricca

Impostazione di Irwin (1957), basata sulle equazioni proposte da Westergaard (1939)

materiale perfettamente elastico,
omogeneo ed isotropo

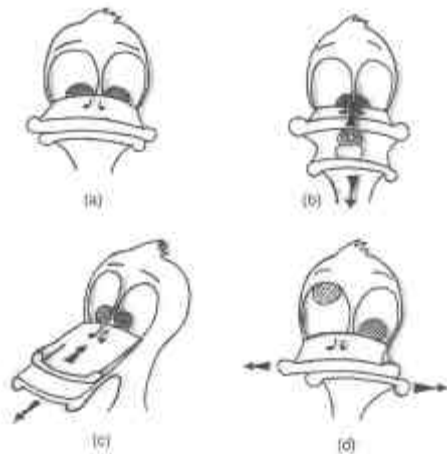
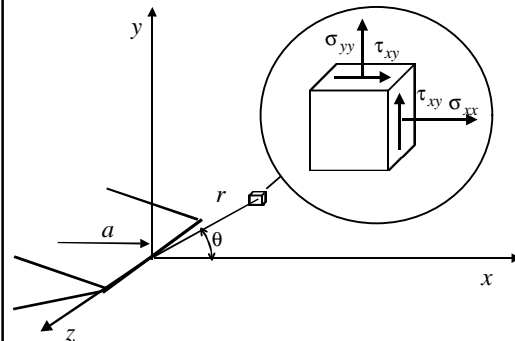
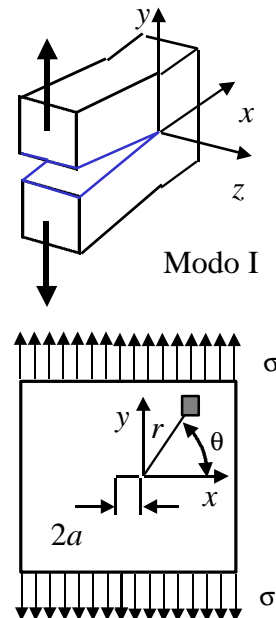


Figure 7.1 "Goofy duck" analogy for three modes of crack bending: (a) Crick-break class; (b) Opening mode; (c) Sliding mode; (d) Twisting mode.
(Courtesy of M. H. Mayari)

Modi di apertura della cricca

Stato di tensione all'apice della cricca (I)



$$\sigma_{xx} = \frac{K_I}{\sqrt{2\pi r}} \cos\left(\frac{\theta}{2}\right) \left[1 - \sin\left(\frac{\theta}{2}\right) \sin\left(\frac{3\theta}{2}\right) \right] + o[r]$$

$$\sigma_{yy} = \frac{K_I}{\sqrt{2\pi r}} \cos\left(\frac{\theta}{2}\right) \left[1 + \sin\left(\frac{\theta}{2}\right) \sin\left(\frac{3\theta}{2}\right) \right] + o[r]$$

$$\tau_{xy} = \frac{K_I}{\sqrt{2\pi r}} \cos\left(\frac{\theta}{2}\right) \sin\left(\frac{\theta}{2}\right) \cos\left(\frac{3\theta}{2}\right) + o[r]$$

$$\sigma_{zz} = \tau_{xz} = \tau_{yz} = 0 \quad \text{tensione piana}$$

$$\sigma_{zz} = v(\sigma_{xx} + \sigma_{yy}) \quad \tau_{xz} = \tau_{yz} = 0 \quad \text{def. piana}$$

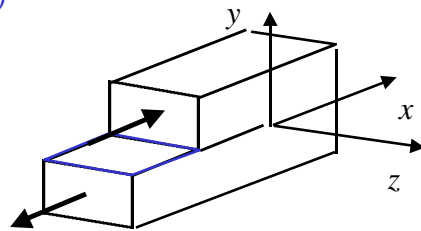
$$\sigma_{ij} = \frac{K_I}{\sqrt{2\pi r}} f_{ij}^I(\theta)$$

K_I = fattore di intensità
delle tensioni

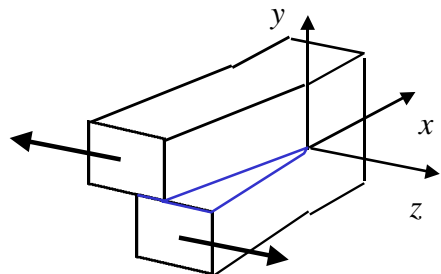
$$K_I = Y\sigma \sqrt{a}$$

Stato di tensione all'apice della cricca (II III)

Modo II $\sigma_{ij} = \frac{K_{\text{II}}}{\sqrt{2\pi r}} f_{ij}^{II}(\theta)$



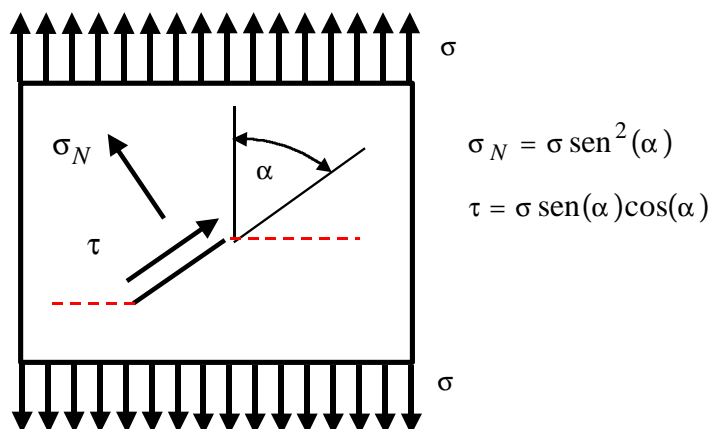
Modo III $\sigma_{ij} = \frac{K_{\text{III}}}{\sqrt{2\pi r}} f_{ij}^{III}(\theta)$



Cenni di meccanica della frattura lineare elastica

5

il modo I è il più studiato perché.....



Cenni di meccanica della frattura lineare elastica

6

Modo I: andamenti per $\theta = 0$

$$\sigma_{xx} = \frac{K_I}{\sqrt{2\pi r}} \cos\left(\frac{\theta}{2}\right) \left[1 - \sin\left(\frac{\theta}{2}\right) \sin\left(\frac{3\theta}{2}\right) \right] + o[r] = \frac{K_I}{\sqrt{2\pi r}} + o[r]$$

$$\sigma_{yy} = \frac{K_I}{\sqrt{2\pi r}} \cos\left(\frac{\theta}{2}\right) \left[1 + \sin\left(\frac{\theta}{2}\right) \sin\left(\frac{3\theta}{2}\right) \right] + o[r] = \frac{K_I}{\sqrt{2\pi r}} + o[r]$$

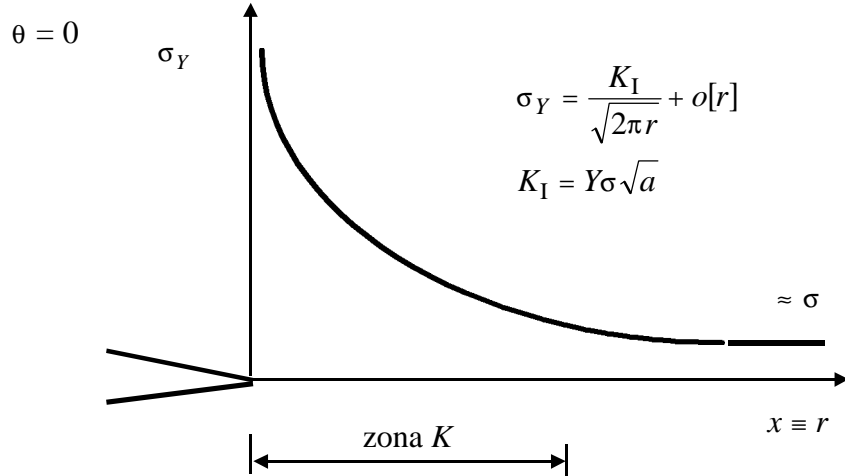
$$\tau_{xy} = \frac{K_I}{\sqrt{2\pi r}} \cos\left(\frac{\theta}{2}\right) \sin\left(\frac{\theta}{2}\right) \cos\left(\frac{3\theta}{2}\right) = 0$$

$$\sigma_{xx} = \sigma_X \quad \sigma_{yy} = \sigma_Y$$

$$r \rightarrow 0 \Rightarrow \sigma_X \rightarrow \infty \quad \sigma_Y \rightarrow \infty$$

Cenni di meccanica della frattura lineare elastica

7



I materiali reali non possono sopportare tensioni “infinte”
 ↓
 Zona plastica all’apice del difetto

Cenni di meccanica della frattura lineare elastica

8

Estensione della zona plastica

Stato di tensione piana:

$$r_p = \frac{1}{\pi} \left(\frac{K_I}{\sigma_p} \right)^2$$

Stato di deformazione piana:

$$r_p = \frac{1}{3\pi} \left(\frac{K_I}{\sigma_p} \right)^2$$

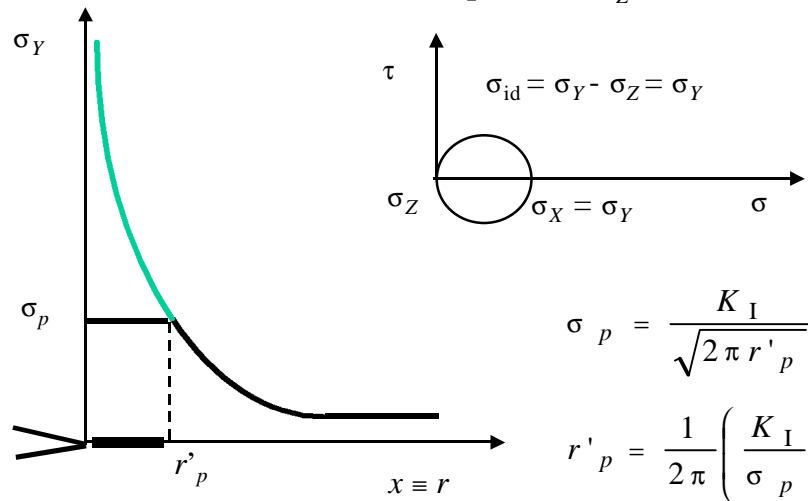
Lo stato di deformazione piana è più pericolosa !!!!

a parità di tensione nominale c'è maggiore energia a disposizione per aprire la cricca

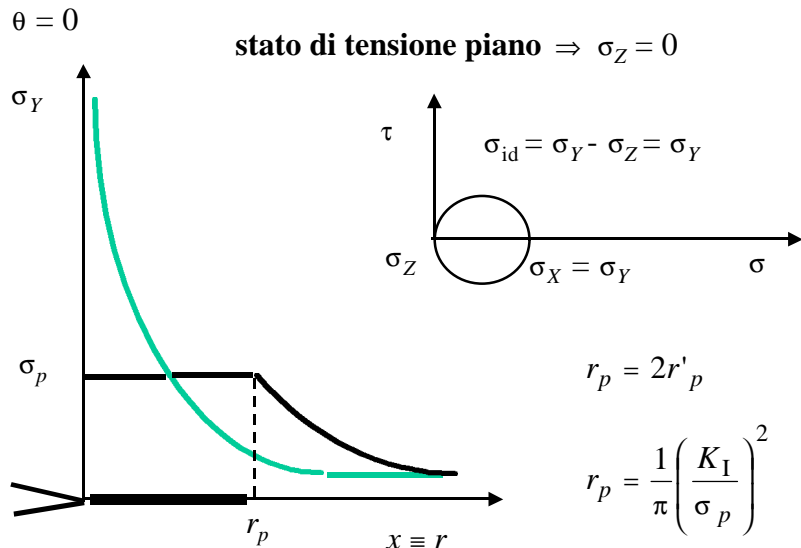
Valutazione estensione zona plastica STP - I

$$\theta = 0$$

stato di tensione piano $\Rightarrow \sigma_Z = 0$



Valutazione estensione zona plastica STP - 2

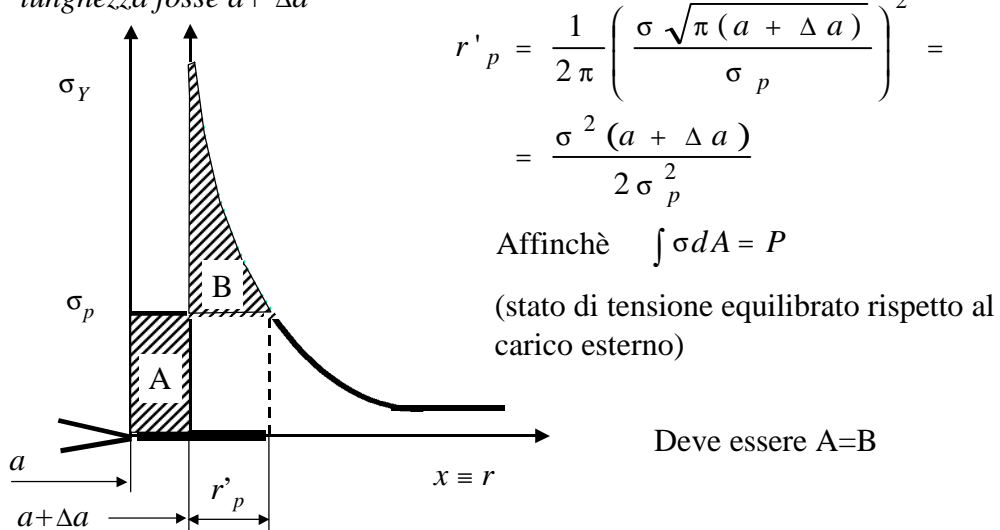


Cenni di meccanica della frattura lineare elastica

11

Dimostrazione (ragionamento di Irwin) - 1:

In presenza di zona plastica la cricca si comporta come se la sua lunghezza fosse $a + \Delta a$



Cenni di meccanica della frattura lineare elastica

12



Dimostrazione (ragionamento di Irwin) - 2

$$\sigma_P \Delta a = \int_0^{r'_P} \frac{\sigma \sqrt{\pi(a + \Delta a)}}{\sqrt{2\pi r}} dx - \sigma_P r'_P \Rightarrow \frac{2\sigma \sqrt{a + \Delta a}}{\sqrt{2}} \sqrt{r'_P} = \sigma_P (\Delta a + r'_P)$$

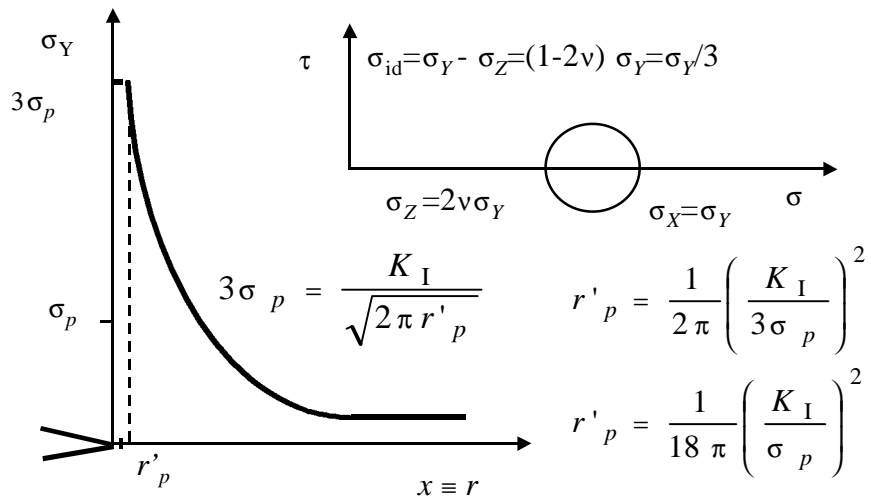
Essendo

$$r'_P = \frac{\sigma^2 (a + \Delta a)}{2 \sigma_p^2} \Rightarrow \frac{\sigma \sqrt{(a + \Delta a)}}{\sqrt{2}} = \sigma_p \sqrt{r'_P}$$

$$2\sigma_p r'_P = \sigma_p (r'_P + \Delta a) \Rightarrow \Delta a = r'_P \Rightarrow r_p = 2 \cdot r'_P$$

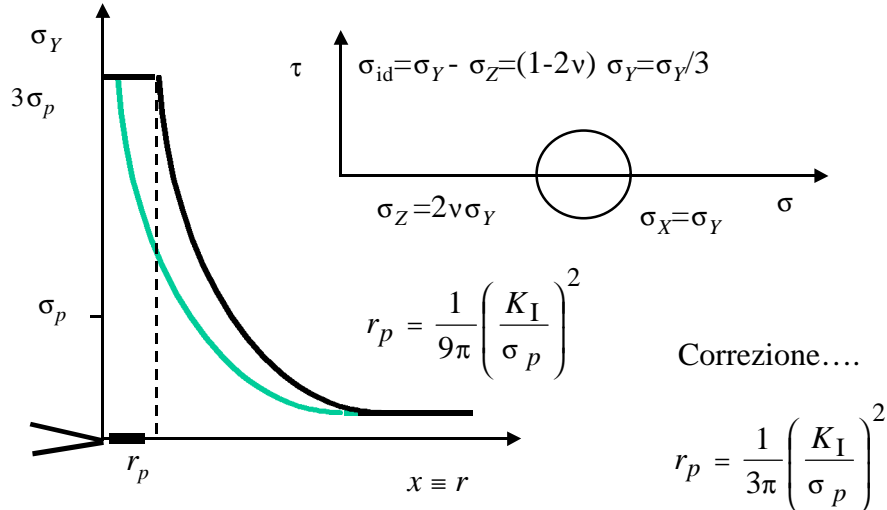
Valutazione estensione zona plastica SDP - 1

$$\text{stato di def. piano} \Rightarrow \sigma_Z = v(\sigma_X + \sigma_Y) = 2v\sigma_Y$$



Valutazione estensione zona plastica SDP - 2

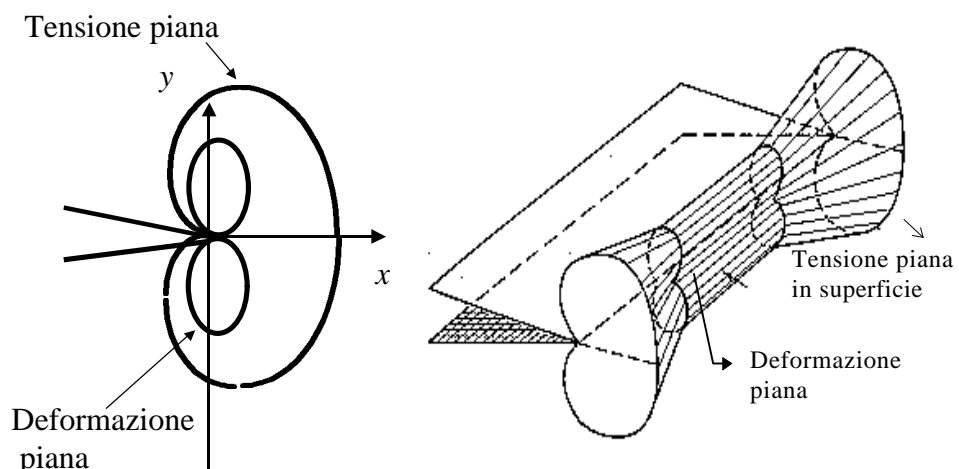
$$\text{stato di def. piano} \Rightarrow \sigma_Z = v(\sigma_X + \sigma_Y) = 2v\sigma_Y$$



Cenni di meccanica della frattura lineare elastica

15

Forma "vera" della zona plastica



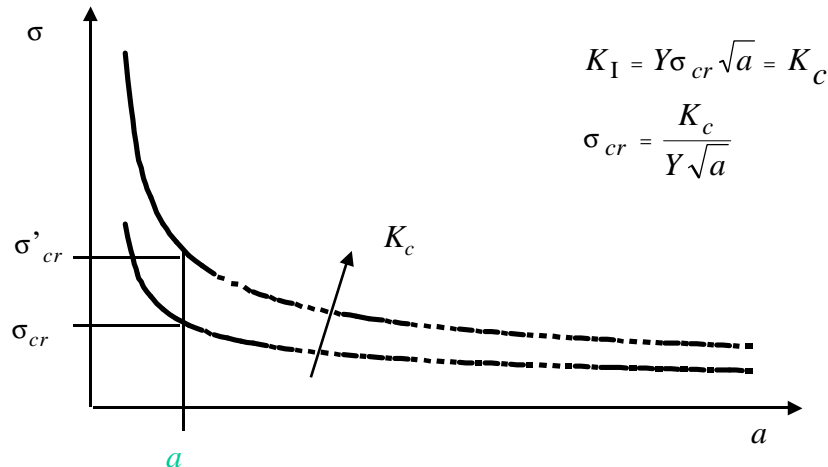
La meccanica della frattura lineare elastica
è applicabile se
 r_p piccolo rispetto ad "a"

Cenni di meccanica della frattura lineare elastica

16

Quando avviene la frattura fragile ?

$$K_I = Y\sigma\sqrt{a} = K_c$$

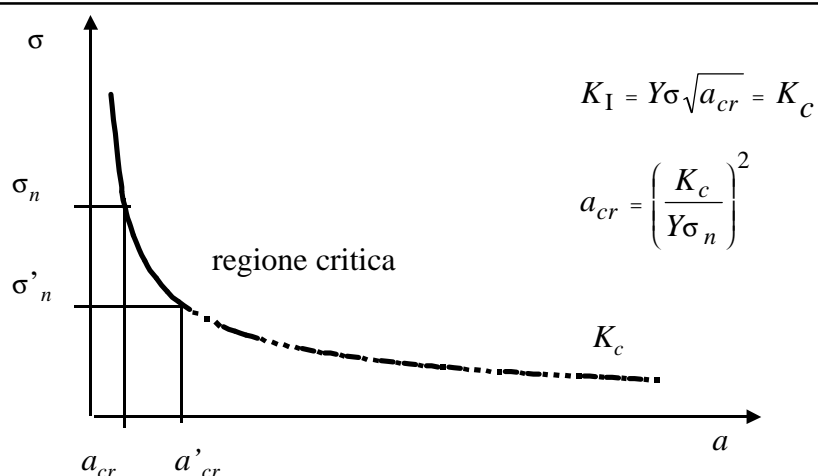


$$K_I = Y\sigma_{cr}\sqrt{a} = K_c$$

$$\sigma_{cr} = \frac{K_c}{Y\sqrt{a}}$$

Cenni di meccanica della frattura lineare elastica

17



$$K_I = Y\sigma\sqrt{a_{cr}} = K_c$$

$$a_{cr} = \left(\frac{K_c}{Y\sigma_n} \right)^2$$

$$K_I = Y\sigma\sqrt{a} = K_c$$

Problemi:

a) determinare K_I

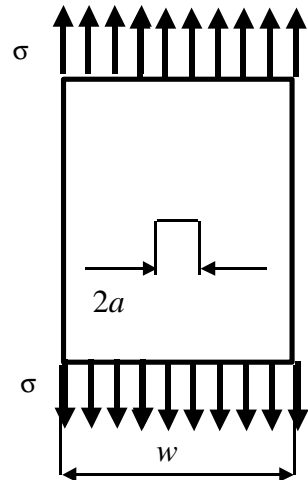
b) determinare K_c

Cenni di meccanica della frattura lineare elastica

18

Determinazione K_I

Tramite apposite tavole
Con calcoli FEM (elementi specifici)



piastra con difetto passante

se $w \gg a$

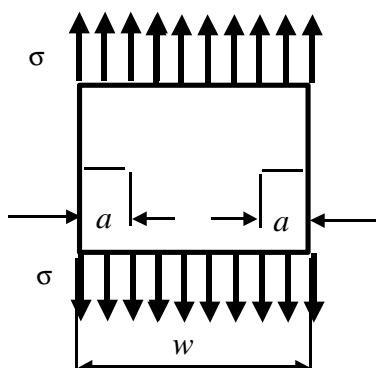
$$Y = \sqrt{\pi} \quad K_I = \sigma \sqrt{\pi a}$$

se w finita

$$Y = \sqrt{\pi} \sqrt{\sec\left(\frac{\pi a}{w}\right)}$$

$$K_I = Y \sigma \sqrt{a}$$

piastra con difetti laterali



se $w \gg a$

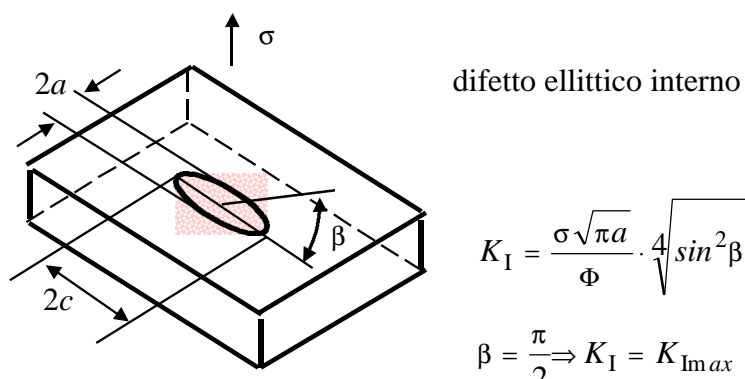
$$Y = 1.12\sqrt{\pi}$$

$$K_I = 1.12\sigma \sqrt{\pi a}$$

se w finita

$$K_I = Y \sigma \sqrt{a}$$

$$Y = 1.12\sqrt{\pi} + 0.76\left(\frac{a}{w}\right) - 8.48\left(\frac{a}{w}\right)^2 + 27.36\left(\frac{a}{w}\right)^3 + \dots$$

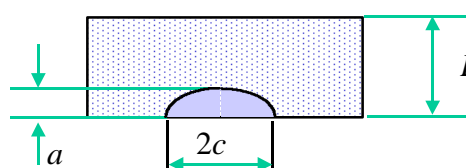


$$K_I = \frac{\sigma \sqrt{\pi a}}{\Phi} \cdot \sqrt{4 \sin^2 \beta + \left(\frac{a}{c}\right)^2 \cos^2 \beta}$$

$$\beta = \frac{\pi}{2} \Rightarrow K_I = K_{Imax} = \frac{\sigma \sqrt{\pi a}}{\Phi}$$

$$\Phi \approx \frac{3\pi}{8} + \frac{\pi}{8} \left(\frac{a}{c}\right)^2$$

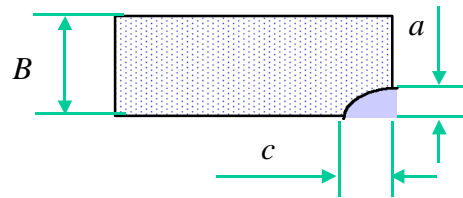
difetto ellittico superficiale



$$K_{Imax} = 1.12 \cdot M_k \cdot \sigma \cdot \sqrt{\frac{\pi a}{Q}}$$

$$Q = \Phi^2 - 0.212 \left(\frac{\sigma}{\sigma_p} \right)^2$$

difetto ellittico d'angolo



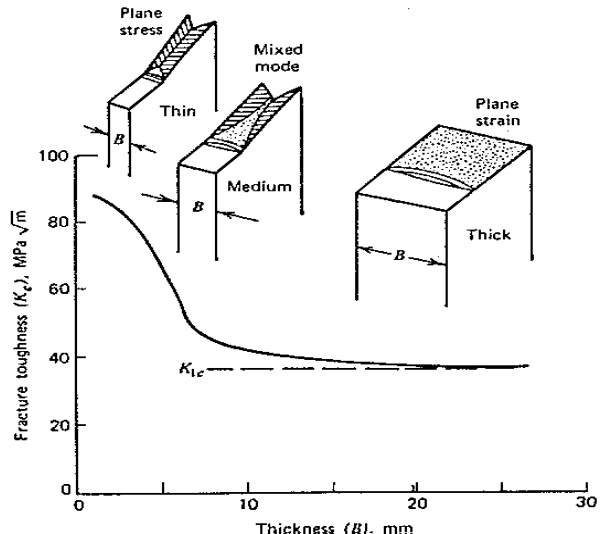
$$K_{Imax} = 1.12^2 \cdot M_k \cdot \sigma \cdot \sqrt{\frac{\pi a}{Q}}$$

Valore critico K_c - Tenacità alla frattura K_{Ic}

K_c dipende da:

- spessore del componente
- temperatura
- velocità di applicazione del carico

**Tenacità alla frattura K_{Ic} :
Valore critico asintotico**



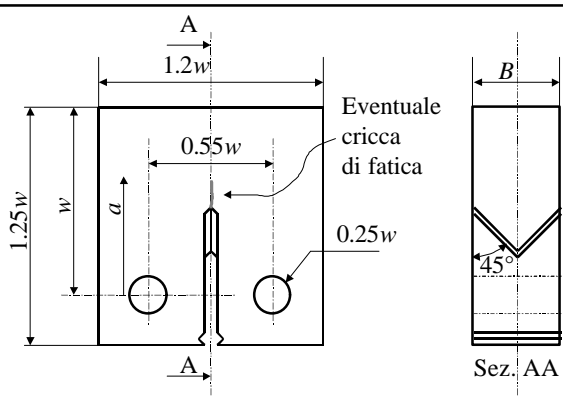
Effetto dello spessore

Cenni di meccanica della frattura lineare elastica

23

Provino CT
(utilizzato per prove di
meccanica della frattura)

Norme:
ASTM E399-83
BS 5447
UNI 7969



$$K_I = \frac{P}{Bw^{1/2}} \left[2.9 \left(\frac{a}{w} \right)^{1/2} - 185.5 \left(\frac{a}{w} \right)^{3/2} + 655.7 \left(\frac{a}{w} \right)^{5/2} - 1017 \left(\frac{a}{w} \right)^{7/2} + 639 \left(\frac{a}{w} \right)^{9/2} \right]$$

valida per $a = 0.45 \div 0.55w$

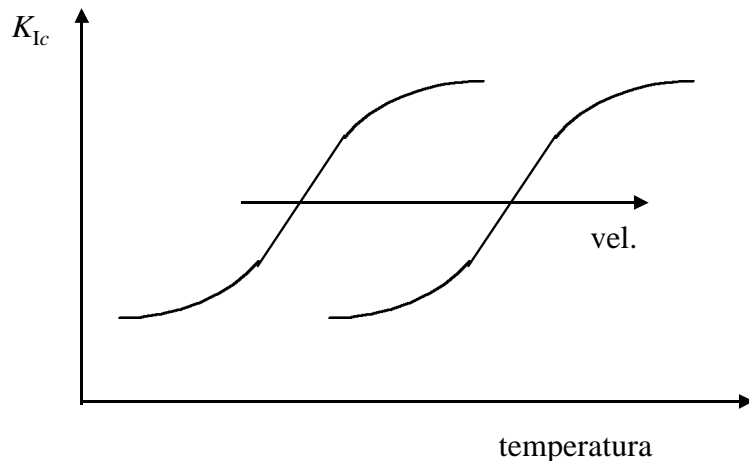
$$\text{se } a \geq 2.5 \left(\frac{K_c}{\sigma_p} \right)^2 B \geq 2.5 \left(\frac{K_c}{\sigma_p} \right)^2 w \geq 5.0 \left(\frac{K_c}{\sigma_p} \right)^2 \text{ ...allora } K_c = K_{Ic}$$

Cenni di meccanica della frattura lineare elastica

24



Effetto temperatura e velocità di applicazione del carico



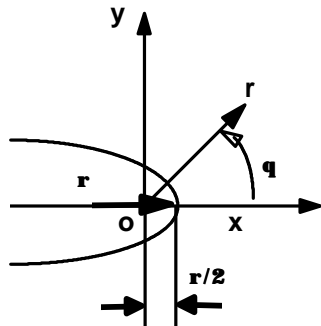
Materiale	σ_p (MPa)	K_{Ic} (MPa m ^{1/2})
Acciai al C	240	>210
4320 (lastra)	1495 - 1640	50 - 63
Ac. maraging 250	1700	74 - 97
Al 7075-T6	560	32
Al 2014-T4	450	29
Ti 6Al-4V (lastra)	815 -835	85 -107

In genere più è alto il limite di snervamento minore è la tenacità a frattura



Orientamento della superficie di frattura

L'orientamento della superficie di frattura dipende dallo stato di tensione all'apice della cricca. Nel momento della frattura $\rho \neq 0$. Le formule di Westergaard non sono più valide.



Cragor e Paris utilizzarono stesse tecniche di Westergaard ma presero in considerazione difetti con $\rho \neq 0$, ponendo l'origine del sistema di riferimento a una distanza $\rho/2$ dall'apice dell'intaglio.

Ricavando:

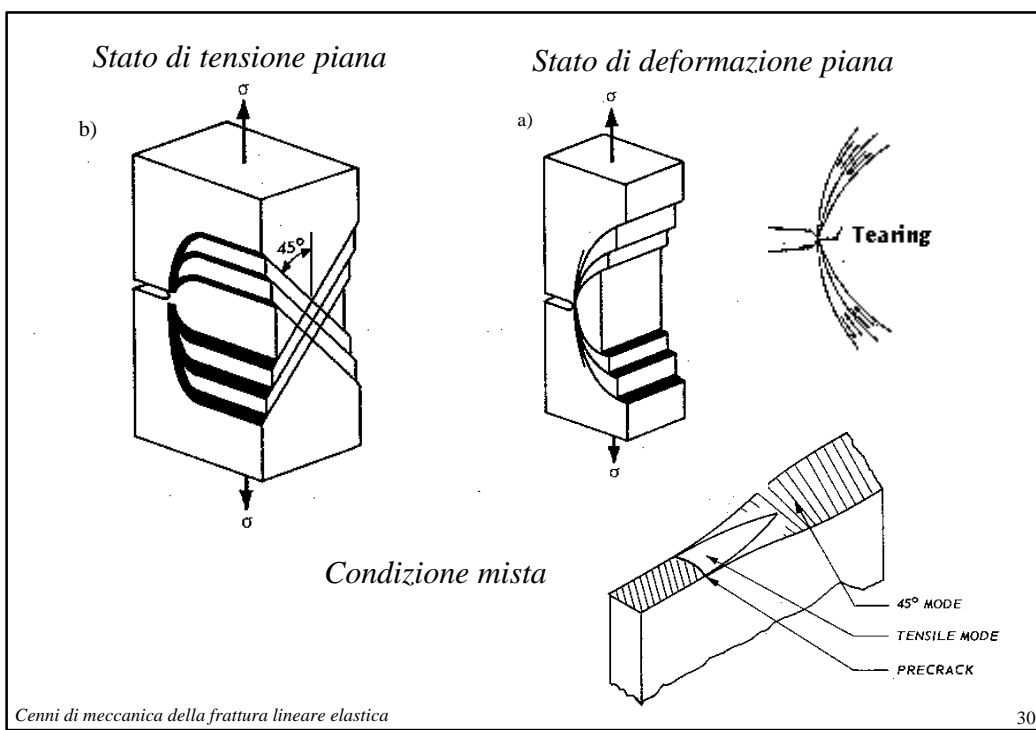
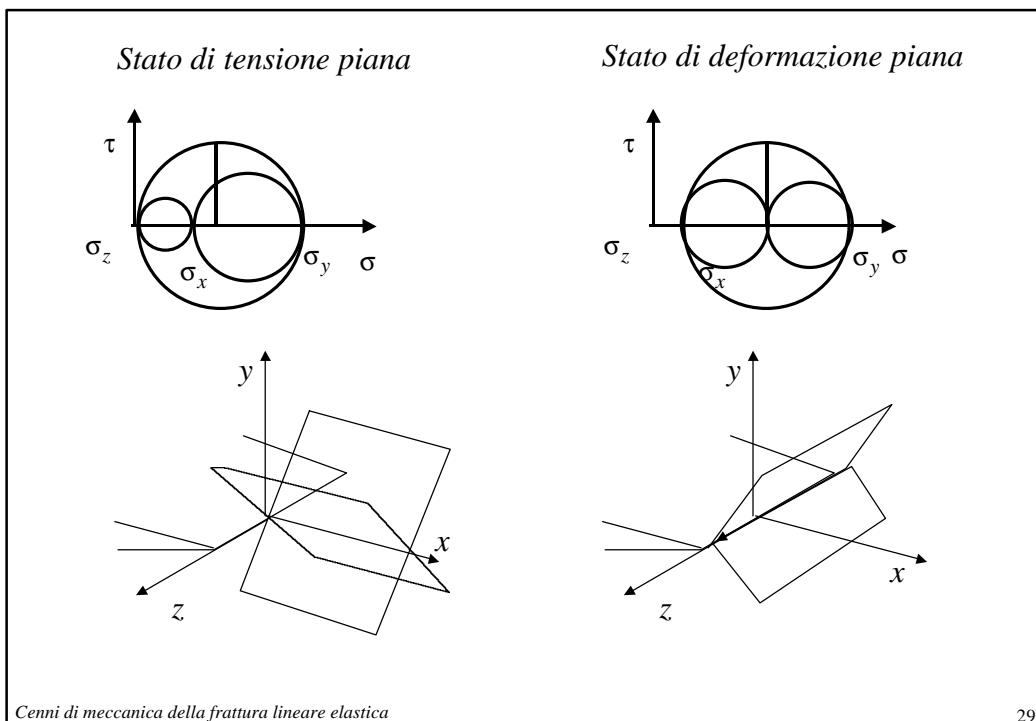
$$\sigma_x = \frac{K_I}{\sqrt{2\pi r}} \cos \frac{\vartheta}{2} \left(1 - \sin \frac{\vartheta}{2} \sin \frac{3\vartheta}{2} \right) - \frac{K_I}{\sqrt{2\pi r}} \left(\frac{\rho}{2r} \right) \cos \frac{3\vartheta}{2}$$

$$\sigma_y = \frac{K_I}{\sqrt{2\pi r}} \cos \frac{\vartheta}{2} \left(1 + \sin \frac{\vartheta}{2} \sin \frac{3\vartheta}{2} \right) + \frac{K_I}{\sqrt{2\pi r}} \left(\frac{\rho}{2r} \right) \cos \frac{3\vartheta}{2}$$

$$\tau_{xy} = \frac{K_I}{\sqrt{2\pi r}} \sin \frac{\vartheta}{2} \cos \frac{\vartheta}{2} \cos \frac{3\vartheta}{2} - \frac{K_I}{\sqrt{2\pi r}} \left(\frac{\rho}{2r} \right) \sin \frac{3\vartheta}{2}$$

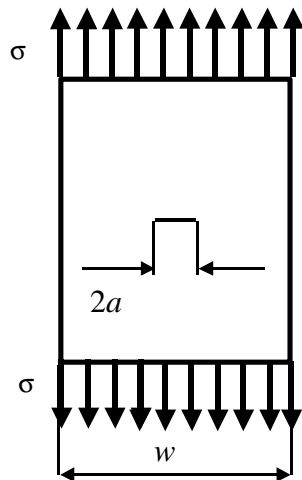
$$\vartheta = 0 \Rightarrow \quad \sigma_x = \frac{K_I}{\sqrt{2\pi r}} \left(1 - \frac{\rho}{2r} \right) \quad \sigma_y = \frac{K_I}{\sqrt{2\pi r}} \left(1 + \frac{\rho}{2r} \right)$$

$$r = \rho/2 \Rightarrow \quad \sigma_x = 0 \quad \sigma_y = \frac{2K_I}{\sqrt{\pi\rho}} \quad \sigma_y > \sigma_x \quad \forall r$$





Collasso plastico o frattura fragile ?



comportamento duttile

$$\sigma_{cr} = \frac{P_{cr}}{Bw}$$

$$P_{cr} = \sigma_p B (w - 2a)$$

$$\sigma_{cr} = \frac{\sigma_p B (w - 2a)}{Bw}$$

$$\sigma_{cr} = \sigma_p \left(1 - \frac{2a}{w} \right)$$

comportamento fragile

$$K_I = Y\sigma\sqrt{a} = K_{Ic}$$

$$\sigma_{cr} = \frac{K_I}{Y\sqrt{a}}$$

Diagramma di Feddersen

